

# LXA<sub>4</sub> 对 ANP 诱发 SIRS 过程中 NF - κB、ICAM - 1 表达的影响

孙洪伟 汪茂名 张 涛 陈必成 施红旗 周蒙滔 张启瑜

**摘要 目的** 探讨脂氧素 A<sub>4</sub> 抑制急性坏死性胰腺炎诱发 SIRS 的机制。**方法** 健康雄性 SD 大鼠 72 只随机分为假手术组、ANP 组和脂氧素 A<sub>4</sub> (LXA<sub>4</sub>) 干预组, 分别采用等量生理盐水、LXA<sub>4</sub> (0.1 mg/kg) 间隔 8 h 经阴茎背静脉注射, 并分别于 4、12、24 h 每组活杀 8 只大鼠, 测定胰腺组织 Schmidt 病理评分、NF - KB、ICAM - 1 的表达水平。**结果** (1) 与假手术组比较, 胰腺炎组、LXA<sub>4</sub> 干预组的 Schmidt 胰腺病理评分有显著升高 ( $P < 0.01$ ); LXA<sub>4</sub> 干预组 Schmidt 胰腺病理评分在 12、24 h 较胰腺炎组低 ( $P < 0.05$ )。 (2) 假手术组 ICAM - 1 表达阴性, 胰腺炎组、LXA<sub>4</sub> 干预组随着病变进展, 其反映 ICAM - 1 表达相对强度的累积光密度值 (IOD) 逐渐上升 ( $P < 0.01$ ); 在 4、12、24 h 等 3 个时点, LXA<sub>4</sub> 干预组的 IOD 值较 SAP 组均有显著下降 ( $P < 0.01$ )。 (3) 假手术组 NF - κB P65 蛋白阴性; ANP 组 NF - κB 胞核阳性表达率为 59.1% (13/22), 显著高于 LXA<sub>4</sub> 干预组的 4.3% (1/23), 差异具有统计学意义 ( $P < 0.01$ )。**结论** (1) LXA<sub>4</sub> 在 ANP 诱发 SIRS 过程中确能抑制 ICAM - 1 的表达。(2) LXA<sub>4</sub> 抑制 ANP 诱发 SIRS 可能是通过抑制 NF - κB 的细胞信号传导途径来实现的。

**关键词** 胰腺炎 脂氧素 A<sub>4</sub> NF - κB ICAM - 1

**Effect of LXA<sub>4</sub> on the Expression of NF - κB and ICAM - 1 in the Process of SIRS Induced by ANP.** Sun Hongwei, Wang Maoming, Zhang Tao, Chen Bicheng, Shi Hongqi, Zhou Mengtao, Zhang Qiyu. Department of Hepatobiliary & Pancreatic Surgery, The First Affiliated Hospital of Wenzhou Medical College, Zhejiang 325000, China

**Abstract Objective** To study the mechanism of LXA<sub>4</sub> to inhibit the SIRS induced by ANP in rats. **Methods** Seventy - two healthy SD rats were randomly divided into three groups :sham group, SAP group and LXA<sub>4</sub> group. Equal amount of physiological saline and LXA<sub>4</sub> (0.1mg/kg) were injected via the dorsal penis vein separately. Each group was divided into 3 small subgroups according to the time point 4, 12, 24hours after the operation. Then the level of ICAM - 1 and NF - KB in pancreatic tissues were measured by immunohistochemistry (IHC), pancreas pathologic grade were also determined. **Results** (1) Among the three groups, levels of pathologic score of the SAP group and LXA<sub>4</sub> group showed increase significantly comparing with those of the sham group ( $P < 0.01$ ); On the time points of 12h and 24h, levels of pathologic score in LXA<sub>4</sub> group decreased significantly comparing with SAP group ( $P < 0.05$ ). (2) The expression of ICAM - 1 in sham group was negative. Along with the progress of pathological changes, the IOD that reflect the relative intensity of ICAM - 1 in SAP group and LXA<sub>4</sub> group rise gradually ( $P < 0.01$ ); On the three time points, levels of IOD in LXA<sub>4</sub> group decreased significantly comparing with SAP group ( $P < 0.01$ ). (3) The expression of NF - κB P65 in sham group was negative. Nuclear positive rate of NF - κB P65 in SAP group was 59.1% (13/22). It was apparently higher than that in LXA<sub>4</sub> group which was 4.3% (1/23). **Conclusion**

(1) LXA<sub>4</sub> can really decrease the levels of ICAM - 1 in pancreatic tissues in the process of SIRS induced by ANP. (2) The mechanism of LXA<sub>4</sub> to inhibit the SIRS induced by ANP in rats may be related to NF - κB.

**Key words** Pancreatitis; Lipoxins A<sub>4</sub> (LXA<sub>4</sub>); Nuclear factor - κB (NF - κB); Interceller adhesion molecular - 1 (ICAM - 1)

脂氧素 (lipoxin, LX) 是继前列腺素和白三烯后被证实的又一重要花生四烯酸代谢产物, 能促进炎症反应的及时消退, 并被誉为炎症反应的“刹车信号”

基金项目: 国家自然科学基金面上项目(81070372); 浙江省自然科学基金资助项目(Z2100853), 温州市科技局课题(H20090078, Y20100228)

作者单位: 325000 温州医学院附属第一医院肝胆胰外科

通讯作者: 周蒙滔, 电子信箱: zmt0417@hotmail.com

或“停止信号”<sup>[1]</sup>。我们的体外试验曾证实脂氧素 A<sub>4</sub> 能抑制中性粒细胞的激活以及促炎细胞因子的释放; 动物实验亦证实能抑制急性坏死性胰腺炎 (acute necrotizing pancreatitis, ANP) 大鼠促炎细胞因子 TNF - α、IL - 1、IL - 6 的产生, 抑制全身炎症反应综合征 (SIRS), 并对 ANP 具有治疗作用。为进一步探讨 LX 抑制 ANP 诱发 SIRS 的机制而做此研究, 现将 NF - κB、ICAM - 1 在抑制 ANP 诱发 SIRS 的研究结果报告

如下。

## 材料与方法

1. 实验对象及主要材料:健康雄性清洁级 SD 大鼠 72 只,体重  $190 \pm 20$  g,由温州医学院实验动物中心提供;牛磺胆酸钠(Sigma 公司);LXA<sub>4</sub>(美国 Cayman 公司);NF-κB P65 蛋白一抗(碧云天生物技术研究所);ICAM-1 一抗(Santa Cruz 公司);二步法免疫组化检测试剂盒(北京中杉金桥生物技术有限公司)。

2. 实验分组:72 只清洁级 SD 大鼠随机分成 3 组,每组 24 只:①LXA<sub>4</sub> 干预组:ANP 模型建立后 10 min,经阴茎背静脉注射 LXA<sub>4</sub>,量按 0.1 mg/kg 计,此后间隔 8 h 注射 1 次;②ANP 组:ANP 模型建立后 10 min,经阴茎背静脉注射等量生理盐水,余同①;③假手术组:仅于剖腹后将针头插入胰管,但不注射牛磺胆酸钠溶液,余同②。

3. ANP 模型建立方法:按 Aho 法<sup>[2]</sup>建立 ANP 大鼠模型,牛磺胆酸钠量按 0.1 ml/100 g 体重计,由恒速泵以 0.1 ml/min 的速度进行胰管逆行注射,实验的全过程均在 SPF 级实验室完成。

4. 标本收集及指标检测:每组分别于术后 4、12、24 h 三个时点各随机活杀 8 只大鼠,收集胰腺组织标本。检测如下指标:①胰腺组织病理学检查及 Schmidt 胰腺病理评分:大鼠处死后取出胰腺组织,常规 4% 多聚甲醛溶液固定,石蜡包埋,5 μm 连续切片,HE 染色后观察。根据 Schmidt 胰腺病理评分标准<sup>[3]</sup>进行病理学评分;②NF-κB 测定:免疫组织化学染色了解胰腺组织 NF-κB P65 蛋白的表达,染色后显色(棕色)深于背景色为阳性。并计算 NF-κB 染色阳性率及胞核染色阳性率;③炎性细胞黏附分子(ICAM-1)测定:免疫组织化学染色了解胰腺组织 ICAM-1 的表达,结果用 SPOT 及 IPP 图像采集分析系统处理,40 × 10 视野下观察采集图像,Image-Pro Plus6.0 版专业图像分析软件处理结果,以累积光密度值(IOD)表示 ICAM-1 表达的相对强度。

5. 统计学方法:实验数据以均数 ± 标准差( $\bar{x} \pm s$ )表示,应用 SPSS 11.5 软件分析,计量资料采用多组比较方差齐时采用方差分析,方差不齐时采用秩和检验;各组之间两两比较,方差齐时采用 SNK-q 检验,方差不齐时采用 Nemenyi 检验;计数资料采用卡方检验,以  $P < 0.05$  认为有显著性差异。

## 结 果

本实验 72 只实验大鼠死亡 3 只,死亡原因考虑为过度炎症反应和多器官功能障碍。

1. 病理学检查结果:①假手术组:肉眼见胰腺淡粉红色,颜色均匀一致、光度好,无水肿,腹腔无腹腔积液;光镜下胰腺结构正常,偶见炎性细胞浸润;②胰腺炎组:肉眼见腹腔内粘连,血性腹腔积液,胰腺灰暗,散在斑片状坏死,网膜组织见皂化斑;光镜下腺泡空泡变,腺泡间、小叶间组织水肿,炎性细胞浸润,胰腺组织出血、坏死。随着时间推移,Schmidt 胰腺病理

评分显著加重( $P < 0.01$ ),符合 ANP 病理改变;③LXA<sub>4</sub> 干预组:4 h 组肉眼及镜下与胰腺炎组变化基本一致,12、24 h 点胰腺炎症较胰腺炎组明显好转。4、12、24 h 胰腺炎组和 LXA<sub>4</sub> 干预组 Schmidt 胰腺病理评分均较假手术组高( $P < 0.01$ );12、24 h LXA<sub>4</sub> 干预组较 SAP 组低( $P < 0.05$ )。3 组不同时点 Schmidt 胰腺病理评分具体情况如表 1 所示。

表 1 3 组不同时点 Schmidt 胰腺病理评分结果比较

组别	4 h	12 h	24 h
假手术组	$0.31 \pm 0.26^{\#}$	$0.38 \pm 0.23^{\#}$	$0.44 \pm 0.18^{\#}$
胰腺炎组	$3.13 \pm 0.64^{*\square}$	$4.56 \pm 0.50^{*\star}$	$6.25 \pm 0.76^{*\star\square}$
LXA <sub>4</sub> 干预组	$2.63 \pm 0.52^{*}$	$3.06 \pm 0.62^{*\#\#}$	$3.93 \pm 0.53^{*\#\#\star\square}$

与同一时点假手术组的数值相比,<sup>\*</sup> $P < 0.01$ ;与同一时点胰腺炎组的数值相比,<sup>#</sup> $P < 0.01$ ,<sup>##</sup> $P < 0.05$ ;与同一实验组 4 h 时点的数值比较,<sup>☆</sup> $P < 0.01$ ;与同一实验组 12 h 时点的数值比较,<sup>□</sup> $P < 0.01$ ,<sup>□□</sup> $P < 0.05$

2. 胰腺组织中 ICAM-1 的表达量:假手术组胰腺血管内皮细胞表面均无染色,ICAM-1 的表达为阴性;SAP 组,术后 4 h 部分胰腺血管内皮细胞表面有淡黄色颗粒,ICAM-1 的表达为弱阳性;术后 12 h,胰腺血管内皮细胞表面有棕黄色或深棕黄色颗粒,ICAM-1 的表达为阳性;至术后 24 h,胰腺血管内皮细胞表面有深棕黄色颗粒,ICAM-1 的表达为强阳性(图 1)。经方差分析,IOD 值随时间推移逐渐上升( $P < 0.01$ )(表 2)。LXA<sub>4</sub> 干预组,胰腺组织 ICAM-1 表达的分布与 SAP 组基本一致,IOD 值随时间推移逐渐上升( $P < 0.01$ ),但在不同时点,其 IOD 值较 SAP 组明显降低( $P < 0.01$ )(图 2、表 2)。

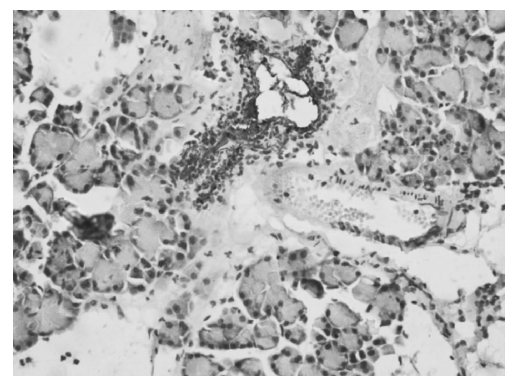


图 1 SAP 组术后 24 h 胰腺血管内皮细胞表面 ICAM-1 的强阳性表达(免疫组化,  $\times 400$ )

表 2 胰腺组织 ICAM - 1 的表达量

组别	4h	12h	24h
假手术组	0 <sup>#</sup>	0 <sup>#</sup>	0 <sup>#</sup>
胰腺炎组	1429 ± 303 * □	1969 ± 451 * ☆	2698 ± 431 * ☆□
LXA <sub>4</sub> 干预组	925 ± 268 * #□	1328 ± 354 * #☆	1721 ± 310 * #☆□

与同一时点假手术组的数值相比, \*  $P < 0.01$ ; 与同一时点胰腺炎组的数值相比, <sup>#</sup>  $P < 0.01$ ; 与同一实验组 4h 时点的数值比较, ☆  $P < 0.01$ ; 与同一实验组 12h 时点的数值比较, □  $P < 0.01$

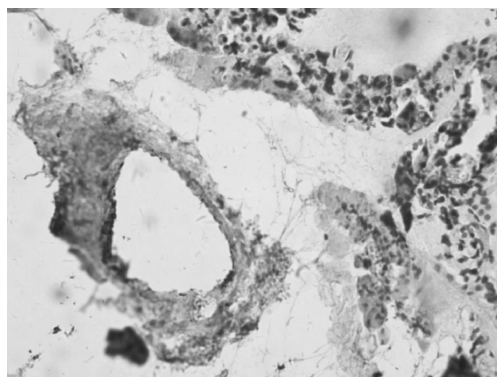


图 2 LXA<sub>4</sub> 干预组 24h 胰腺血管内皮细胞表面 ICAM - 1 的表达较 SAP 组弱(免疫组化, ×400)

表 3 各组胰腺组织 NF - κB 表达结果 (n)

时间点	n	假手术组		胰腺炎组		LXA <sub>4</sub> 干预组		
		( - )	( + )	( - )	( + )	胞核( + )	( - )	( + )
4h	24	8	0	4	4	2	5	3
12h	24	8	0	0	8	5	4	0
24h	21	8	0	0	6	6	1	1

腺病理评分因综合考虑坏死性胰腺炎的主要病理改变,如胰腺水肿、出血、炎症、坏死、以及胰周脂肪坏死和钙化灶形成情况等因素,一直来被认为是实验性坏死性胰腺炎病变严重度的客观评价指标<sup>[3]</sup>。

以往的实验研究已阐明,LXA<sub>4</sub> 治疗 ANP 的机制主要与 LXA<sub>4</sub> 能抑制 SIRS 有关,并能抑制中性粒细胞(PMN)的过度激活。而 PMN 的过度激活在 SIRS 的全过程中处于核心地位,活化的 PMN 才能发挥其破坏作用,从而损害脏器功能,导致 MODS<sup>[4]</sup>。然而,活化的 PMN 要发挥其破坏作用首先必须完成与血管内皮细胞的黏附<sup>[5]</sup>。也就是说,PMN 与血管内皮的黏附是活化的 PMN 发挥破坏作用的前提条件,这一黏附过程又须依赖于炎症部位 PMN 和血管内皮细胞膜表面的黏附分子的表达,而炎性细胞黏附分子(ICAM - 1)是介导 PMN 与血管内皮黏附的主要途径<sup>[6]</sup>。因此,ICAM - 1 的表达在 SIRS 的发展过程中起至关重要的作用。本研究结果表明,假手术组 ICAM - 1 表达阴性,而 SAP 组、LXA<sub>4</sub> 干预组在 3 个

3. 胰腺组织 NF - κB P65 蛋白的表达情况:①各组胰腺组织 NF - κB 表达结果,如表 3 所示;②NF - κB 阳性表达率:ANP 组 22 个标本,阳性表达 18 个,阳性表达率为 81.8%;LXA<sub>4</sub> 干预组 23 个标本,阳性表达 13 个,阳性表达率为 56.5%,两组之间的差别无统计学意义( $P > 0.05$ )。假手术组 24 个标本无阳性表达,阳性表达率为 0,与其他两组相比,差别有非常显著意义( $P < 0.01$ );③NF - κB 胞核阳性表达率:ANP 组 22 个标本,胞核阳性表达 13 个,胞核阳性表达率为 59.1%;LXA<sub>4</sub> 干预组 23 个标本,胞核阳性表达 1 个,阳性表达率为 4.3%,两组之间的差别有显著统计学意义( $P < 0.01$ )。假手术组 24 个标本无阳性表达,阳性表达率为 0。

## 讨 论

正如我们以往的实验研究,本实验研究结果亦表明 LXA<sub>4</sub> 对 ANP 具有改善作用,能减轻 ANP 的病变程度。在 12、24h 两个时点,LXA<sub>4</sub> 干预组的 Schmidt 胰腺病理评分较比胰腺炎组明显降低;而 Schmidt 胰

腺病理评分因综合考虑坏死性胰腺炎的主要病理改变,如胰腺水肿、出血、炎症、坏死、以及胰周脂肪坏死和钙化灶形成情况等因素,一直来被认为是实验性坏死性胰腺炎病变严重度的客观评价指标<sup>[3]</sup>。

时点均有阳性表达,但随着时间的推移,反映 ICAM - 1 表达相对强度的累积光密度值(IOD)逐渐上升( $P < 0.01$ ),这与 SIRS 的发展过程相符合,可见 ICAM - 1 确在 SIRS 发展过程中起作用。而在 4、12、24h 三个时点,LXA<sub>4</sub> 干预组的 IOD 值较比 SAP 组均有显著下降(4、12h, $P < 0.05$ ;24h, $P < 0.01$ ),证实 LXA<sub>4</sub> 在 ANP 诱发 SIRS 过程中确能抑制 ICAM - 1 的表达。

研究表明,NF - κB 在炎症过程中起重要作用,它可与多种炎症因子基因启动子中的相应序列结合,参与炎症介质(TNF - α、IL - 1、IL - 6、IL - 8)、黏附分子(ICAM - 1、VCAM - 1、E - 选择素)以及 NO 合酶等基因的转录,而它们正是参与 SIRS、MODS 的重要因子<sup>[7,8]</sup>。我们以往的研究表明 LXA<sub>4</sub> 能抑制 ANP 大鼠分泌 TNF - α、IL - 1、IL - 6 等促炎细胞因子,本研究结果亦表明 LXA<sub>4</sub> 能抑制 ICAM - 1 的表达。然而,在 ANP 诱发 SIRS 过程中,LXA<sub>4</sub> 抑制 TNF - α、IL - 1、IL - 6 分泌以及抑制 ICAM - 1 的表达是否是

通过抑制 NF-κB 的途径来实现的呢？本研究结果表明，假手术组 NF-κB P65 蛋白阴性，说明 NF-κB 无阳性表达；而 ANP 组 NF-κB 的细胞核阳性表达率最高；LXA<sub>4</sub> 干预组 NF-κB 细胞核有阳性表达，但其阳性表达率比 ANP 组低。这一研究结果表达，NF-κB 参与 ANP 的炎症过程，其表达规律与 ANP 诱发 SIRS 的规律基本一致；LXA<sub>4</sub> 能抑制 NF-κB 的阳性表达，其抑制的规律与 LXA<sub>4</sub> 对 TNF-α、IL-1、IL-6、ICAM-1 的抑制亦基本一致。因此，我们认为，NF-κB 参与 ANP 诱发 SIRS 的过程，LXA<sub>4</sub> 抑制 TNF-α、IL-1、IL-6 等促炎细胞因子和 ICAM-1 的表达从而抑制 SIRS 过程，可能是通过抑制 NF-κB 的细胞信号传导途径来实现的。这一研究结果提示，LXA<sub>4</sub> 可能是一种新的 NF-κB 的非选择性抑制剂，这以细胞因子为靶点的 SAP 治疗提供了新的契机。且因 LXA<sub>4</sub> 无糖皮质激素、非甾体抗炎药和免疫抑制剂等抗炎药诸多不良反应，可能具有更好的临床应用前景。

#### 参考文献

- 1 Serhan CN. Lipoxins and aspirin-triggered 15-epi-lipoxin biosynthesis: an update and role in anti-inflammation and pro-resolution

- [J]. Prostaglandins Other Lipid Mediat, 2002, 8(68-69): 433-455
- 2 Aho HJ, Koskensalo ML, Nevalainen TJ. Experimental pancreatitis in the rat: sodium taurocholate induced acute haemorrhagic pancreatitis [J]. Scand J Gastroenterol, 1980, 15(4): 411-416
- 3 Schmidt J, Ratter DW, Lewandrowski K, et al. A better model of acute pancreatitis for evaluating therapy [J]. Ann Surg, 1992, 215(1): 44-56
- 4 Davies MG, Hagen PO. Systemic inflammatory response syndrome [J]. Br J Surg, 1997, 84(7): 920-935
- 5 Lundberg AH, Granger DN, Russell J, et al. Quantitative measurement of P and E-selection adhesion molecules in acute pancreatitis: correlation with distant organ injury [J]. Ann Surg, 2000, 231(2): 213-222
- 6 Hu G, Vogel SM, Schwartz DE, et al. Intercellular adhesion molecule-1-dependent neutrophil adhesion to endothelial cells induces caveolae-mediated pulmonary vascular hyperpermeability [J]. Circ Res, 2008; 102(12): e120-131
- 7 Matsuda N, Hattori Y. Systemic inflammatory response syndrome (SIRS): molecular pathophysiology and gene therapy [J]. Pharmacol Sci, 2006; 101(3): 189-198
- 8 Jiang B, Xu S, Hou X, et al. Temporal control of NF-κappa B, activation by ERK differentially regulates interleukin-1β-induced gene expression [J]. Biol Chem, 2004, 279(2): 1323-1329

(收稿:2011-07-07)

(修回:2011-07-13)

## 结直肠癌术前血清 CEA、CA199 表达水平与临床病理关系的研究

刘传 清水汪宁王雅杰

**摘要 目的** 探讨术前血清中癌胚抗原(CEA)与糖类抗原 199(CA199)水平与结直肠癌分期、分化程度、病理类型和细胞增殖(Ki-67)的关系。**方法** 收集 292 例结直肠癌患者,检测其术前血清 CEA 和 CA199 水平,分析其表达水平在不同肿瘤 TNM 分期、分化程度、病理类型和细胞增殖(Ki-67)的差异。**结果** 血清 CEA 水平升高与肿瘤 TNM 分期、分化程度、病理类型存在明显统计学差异,血清 CA199 水平升高与肿瘤 TNM 分期、分化程度存在明显统计学差异,肿瘤 TNM 分期越晚,血清 CA199 水平越高( $P < 0.05$ )。血清 CEA、CA199 升高与 Ki67 无明显统计学差异。**结论** 结直肠癌患者术前血清 CEA 和 CA199 水平可作为评估结直肠癌临床病理关系的指标之一。

**关键词** 结直肠癌 CEA CA199 临床病理关系

**Study on the Relationship of Preoperative CEA and CA199 Serum Levels with Clinicopathology of Colorectal Cancer.** Liu Chuan, Wang Qingshui, Wang Ning, Wang Yajie. Department of Oncology, Changhai Hospital, The Second Military Medical University, Shanghai 200433, China

基金项目:2010 年上海市卫生局科研计划资助项目(2009113);上海市重点学科建设资助项目(B905)

作者单位:200433 上海,第二军医大学附属长海医院肿瘤科

通讯作者:王雅杰,主任医师,教授,博士生导师,电子信箱:yajiewa0459@163.com